

## อัตตปรากฏการณ์การอักเสบจากเชื้อรา : การศึกษาย้อนหลัง

เสาวณีย์ เย็นฤดี\*

พงษ์ศักดิ์ วรรณไกรโรจน์\*

**Yenrudi S, Wannakrairot P. Autofluorescence of fungi : retrospective study as supplementary diagnosis to tissue fungi. Chula Med J 1984 Oct; 28 (10) : 1099-1108**

*Twenty two cases of tissue fungi were studied by fluorescent microscopy in routine Hematoxylin and eosin section. These fungi were Candida, Aspergillus, Cryptococcus, Histoplasma, fungi in order Mucorales, and fungus causing chromoblastomycosis and mycetoma. All cases were previously diagnosed to be fungal infection by routine H&E staining. As well as PAS, GMS, Mayer's mucicarmine, and culture in 2 cases were performed to support the tissue diagnosis of mycosis. Four kinds of bacterial infections and three kinds of normal tissue commonly infected by the fungi were also studied by the same procedure. Five out of 7 cases of candidiasis, 4 out of 5 cases of aspergillosis, cryptococcosis, and histoplasmosis were all fluorescent. On the other hand, degenerated Candida and Aspergillus, chromoblastomycosis, phycomycosis, and mycetoma were not fluorescent, as well as all bacterial infections in the group studied by identical method. Autofluorescent of the back ground tissue was a pitfall in differential diagnosis from the fungal cells. However, its simplicity and rapidity of study were useful in diagnostic adjunct to tissue mycosis in the proper section.*

\* ภาควิชาพยาธิวิทยา คณะแพทยศาสตร์ จุฬาลงกรณ์มหาวิทยาลัย

เนื้อเยื่อบางอย่างเปลี่ยนแปลงเรื่องออกมาได้เอง เมื่อผ่านแสงอุลตราไวโอเลทคุณสมบัติชนิดหนึ่งของเนื้อเยื่อเรียกว่า ออโตฟลูออเรสเซนซ์ เนื้อเยื่อที่มีคุณสมบัติเช่นนี้ ได้แก่ สมอง renal convoluted tubules เนื้อเยื่ออีลาสติก แกรนูลของ mast cell และ เม็ดเลือดแดง เนื้อเยื่อที่ผ่านน้ำยารักษารูปและเนื้อเยื่อที่ตายแล้ว จะมีออโตฟลูออเรสเซนซ์มากขึ้น<sup>(1)</sup> ในปี ค.ศ. 1983 Mann ได้พบว่าเนื้อเยื่ออักเสบจากเชื้อราชนิดต่าง ๆ จำนวน 6 ชนิด นำมาย้อมสีซีมาทอกซิลิน-อีโอซิน แล้วศึกษาด้วยกล้องฟลูออเรสเซนซ์ เชื้อราหลายชนิดได้แก่ Blastomyces, Cryptococcus, Candida, Aspergillus, Coccidioides และ Histoplasma บางราย เมื่อผ่านแสงอุลตราไวโอเลทจะให้แสงเรืองออกมาได้เอง ส่วนใหญ่จะเริ่มเห็นได้เมื่อใช้กำลังขยายตั้งแต่ 100 เท่าขึ้นไปและบางกรณีเห็นได้เมื่อใช้กำลังขยาย 40 เท่า<sup>(2)</sup>

ผู้รายงานได้รวบรวมชิ้นเนื้อ ที่ได้จากการผ่าตัด และตรวจศพทุกราย ได้รับความวินิจฉัยว่า มีการอักเสบจากเชื้อราชนิดต่าง ๆ นำมาศึกษาอื่น หลังด้วยกล้องฟลูออเรสเซนซ์ เพื่อที่จะหาข้อมูลเพิ่มเติมว่า ในทางปฏิบัติแล้ว การศึกษาเช่นนี้จะมีประโยชน์ในการช่วยวินิจฉัยการอักเสบในเนื้อเยื่อ ที่เกิดจากเชื้อรามากเพียงใด

## วัสดุและวิธีการ

ชิ้นเนื้อที่นำมาศึกษา ประกอบด้วยเนื้อเยื่อกลุ่มต่าง ๆ 3 กลุ่ม กลุ่มแรกได้แก่เนื้อเยื่อที่มีการอักเสบจากเชื้อราต่าง ๆ จำนวน 22 ราย และเป็นชิ้นเนื้อจากการผ่าตัด 18 ราย ชิ้นเนื้อจากการตรวจศพ 4 ราย รวบรวมตั้งแต่ปี พ.ศ. 2523 จนถึง พ.ศ. 2526 กลุ่มที่สองประกอบด้วยเนื้อเยื่ออักเสบจากเชื้อแบคทีเรียชนิดต่าง ๆ จำนวน 8 ราย และกลุ่มที่สามประกอบด้วยเนื้อเยื่อปกติจากสมอง ผิวหนังและปอด จำนวน 13 ราย อวัยวะทั้ง 3 ชนิด เป็นอวัยวะที่พบมีการอักเสบจากเชื้อราชนิดต่าง ๆ ในกลุ่มแรก

เนื้อเยื่อทั้งหมด Fix ใน 10 เปอร์เซ็นต์ฟอร์มาลิน ตัดและย้อมด้วยสีซีมาทอกซิลิน-อีโอซิน เฉพาะเนื้อเยื่อกลุ่มแรกมีการย้อมพิเศษด้วยวิธี ฟิร็อคติก เอซิดซิฟ โกลเมอรี เมทินามีน ซิลเวอร์ และ มิวซิคาร์มิน เพื่อสนับสนุนการวินิจฉัยด้วยกล้องจุลทรรศน์ และมีการเพาะเชื้อร่วมด้วย ในการอักเสบจากเชื้อ Aspergillus 2 ราย กลุ่มการอักเสบจากเชื้อราประกอบด้วย Candidiasis 7 ราย Aspergillosis 5 ราย Cryptococcosis 4 ราย Histoplasmosis 2 ราย Phycomycosis 2 ราย (Order Mucorales, unknown species) Chromoblastomycosis 1 ราย Mycetoma 1 ราย (unknown organism)

กลุ่มที่สอง การวินิจฉัยการอักเสบจากเชื้อแบคทีเรีย ประกอบด้วยพยาธิสภาพการอักเสบ ที่พบโดยการศึกษาด้วยกล้องจุลทรรศน์ ร่วมกับการเพาะเชื้อทุกราย เนื้อเยื่ออักเสบจากแบคทีเรียที่นำมาศึกษา ประกอบด้วยเนื้อเยื่ออักเสบจากเชื้อ *Klebsiella* spp. 2 ราย เนื้อเยื่ออักเสบจากเชื้อ *Pseudomonas aeruginosa* 2 ราย เนื้อเยื่ออักเสบจากเชื้อ *E. coli* 2 ราย และ เนื้อเยื่ออักเสบจากเชื้อ *Staphylococcus aureus* 2 ราย

กลุ่มที่สาม เป็นเนื้อเยื่อปกติ จากสมอง 5 ราย ผิวหนัง 4 ราย และปอด 4 ราย

ชิ้นเนื้อทั้งหมดที่กล่าวมาแล้ว นำมาศึกษาด้วยกล้องฟลูออเรสเซนซ์ โดยใช้แผ่นกรองชนิดแรก (Exciting filter, B<sub>2</sub>) ซึ่งให้แสงสีน้ำเงิน และแผ่นกรองชนิดหลัง สีเหลือง (Barrier filter, Y<sub>50</sub>) การศึกษาด้วยกล้องฟลูออเรสเซนซ์ใช้ศึกษาเฉพาะชิ้นเนื้อที่ย้อมด้วยสีซิม้าท็อก ซิลิน-อีโอซิน เนื่องจากการย้อม วิธีนี้เป็นที่ยอมรับทำเป็นประจำและเป็นหลักของห้องปฏิบัติการพยาธิวิทยาอยู่แล้ว

### ผลการศึกษา

*Cryptococcus* และ *Histoplasma* ทุก รายในการศึกษานี้ เปล่งแสงเรืองออกจากผนังเมื่อผ่านแสงอุลตราไวโอเลต (ดูรูปภาพ

ประกอบ) *Cryptococcus* เห็นได้ตั้งแต่กำลังขยาย 100 เท่าขึ้นไป และเห็นได้ชัดเจนที่กำลังขยาย 200 และ 400 เท่า *Histoplasma* เห็นได้ชัดพอสมควรที่กำลังขยาย 400 เท่า สำหรับ *Aspergillus* มีการเรืองแสง 4 ราย จาก 5 ราย เห็นได้ที่กำลังขยาย 200 เท่า กำลังขยาย 400 เท่าเห็นได้ชัดเจนที่ *Candida* พบมีการเรืองแสงจาก Organism 5 ราย ใน 7 ราย การเรืองแสงเห็นได้ดีพอสมควรที่กำลังขยาย 400 เท่า *Mucorales* ซึ่งไม่ทราบ species *Chromoblastomycosis* และ *Mycetoma* ไม่มีการเรืองแสง

สำหรับกลุ่มการอักเสบ จากเชื้อแบคทีเรียไม่พบมีการเรืองแสงจากแบคทีเรียชนิดใด ๆ ในกลุ่มที่นำมาศึกษา กลุ่มเนื้อเยื่อปกติ เนื้อเยื่อที่ให้แสงเรืองเมื่อศึกษาด้วยกล้องฟลูออเรสเซนซ์ได้แก่ เนื้อเยื่อ Connective Tissue ได้ ผิวหนัง เยื่อหุ้มสมอง Alveolar Septae และเนื้อเยื่ออีลาสติกในผนังของเส้นเลือด โคนผม ในชั้นใต้ผิวหนัง และ เม็ดเลือดแดง

### วิจารณ์

โดยปกติ การวินิจฉัยเนื้อเยื่ออักเสบจากเชื้อรา จะวินิจฉัยโดยการพบเชื้อราในเนื้อเยื่อ ร่วมกับพยาธิสภาพ ที่เข้ากันได้กับการอักเสบจากเชื้อรา ขณะเดียวกันจะต้องมีการเพาะเชื้อ เพื่อสนับสนุนการวินิจฉัยที่แน่นอนในขั้นสุดท้าย

การเรืองแสงของเชื้อราชนิดต่าง ๆ ใน การศึกษา<sup>๓</sup> มีการเรืองแสงที่ให้ลักษณะใกล้เคียงกับเนื้อเยื่อปกติบางชนิดดังเช่น *Candida* ซึ่งการเรืองแสงของ Hyphae และ Pseudohyphae คล้ายคลึงกับ Connective Tissue แต่เมื่อใช้กำลังขยายขนาด 400 เท่า พบว่าการเรืองแสงจากบริเวณผนังเท่านั้น และขณะเดียวกันมีการเรืองแสงของ Yeast Cells ร่วมด้วย *Candida* 2 รายที่ไม่มีการเรืองแสงเมื่อผ่านแสงอุลตราไวโอเลต จากการเปรียบเทียบการติดสีใน Section ที่ย้อมสีฮีมาทอกซิดิน-อีโอซีน พบว่า Organism เหล่านี้ติดสีชมพูทั้ง Yeast Cells, Hyphae และ Pseudohyphae ทั้งนี้แสดงถึงการเปลี่ยนแปลงไปในทางเสื่อมสลาย (Degeneration and necrosis) ของ Organism และเป็นผลให้คุณสมบัติในการเรืองแสงหมดไปด้วย สำหรับ *Aspergillus* และ *Mucor* การเรืองแสงพบใน *Aspergillus* เท่านั้น ลักษณะการเรืองแสงคล้ายคลึงกับ Hyphae และ Pseudohyphae ของ *Candida* แต่โดยทั่วไป *Aspergillus* มีขนาดใหญ่กว่า<sup>(๓)</sup> พยาธิสภาพจากกล้องจุลทรรศน์ของ *Aspergillus* และ *Mucor* บางครั้งไม่สามารถแยกจากกันได้ ดังเช่น *Aspergillus* 1 ราย ใน Section ที่ย้อมสีฮีมาทอกซิดิน-อีโอซีน ลักษณะผนัง

กันเห็นไม่ชัดเจนและ Branching Hyphae ทำมุกว้าง (รูปที่ 5) อันเป็นลักษณะก่อนไปทาง *Mucor* แต่ผลการเพาะเชื้อรายนี้สนับสนุนว่าเป็น *Aspergillosis* เช่นเดียวกับการศึกษาด้วยกล้องฟลูออเรสเซนซ์ *Aspergillus* 1 รายที่ไม่มีการเรืองแสงนั้น การวินิจฉัยทำจากพยาธิสภาพที่พบในกล้องจุลทรรศน์ ซึ่งพบ Broad Septate Hyphae และมี Branching Hyphae ซึ่งทำมุกแคบ และพุ่งไปในแนวเดียวกันอันเป็นลักษณะของ *Aspergillus* เชื้อราอีกเสบรายนี้อาจเป็น *Mucor* แต่ก็ไม่สามารถจะสนับสนุนเหตุผลข้อนี้ได้ เนื่องจากไม่มีการเพาะเชื้อร่วมด้วย

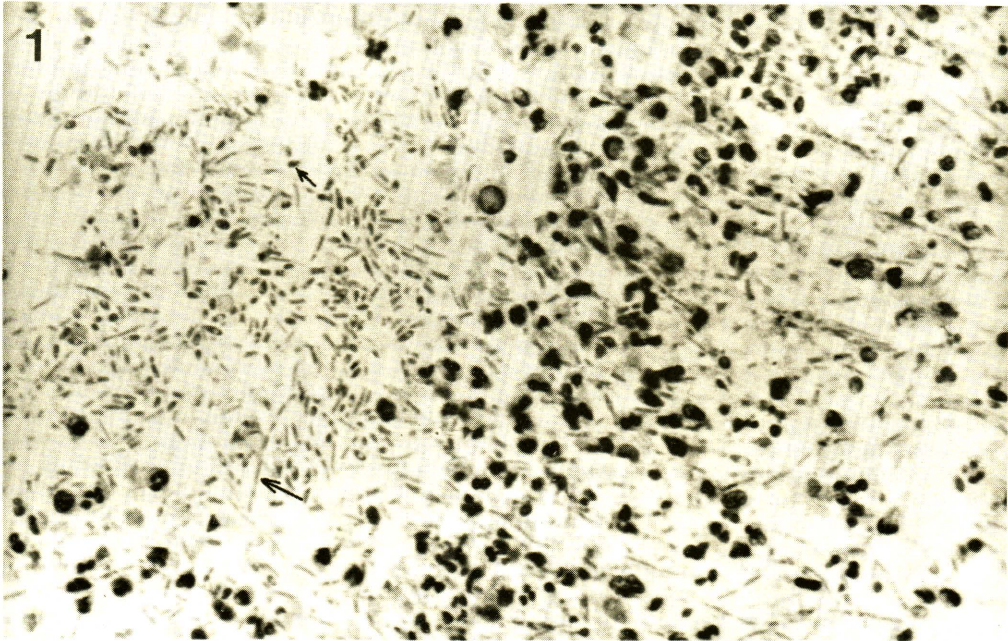
Yeast Cells ของ *Candida* *Histoplasma* และ *Cryptococci* มีลักษณะกลมหรือรูปไข่ ซึ่งคล้ายคลึงกับการเรืองแสงของเม็ดเลือดแดง แต่ขนาดของ Yeast Cells ของ *Candida* ประมาณ 3-4 ไมครอนเล็กกว่าขนาดของเม็ดเลือดแดงมาก *Histoplasma* ก็เช่นเดียวกันมีขนาดเล็กมาก *Cryptococci* มีขนาดใกล้เคียงกับขนาดของเม็ดเลือดแดง แต่จากลักษณะการกระจายตัวและตำแหน่งที่อยู่ในเนื้อเยื่อของ *Cryptococci* รวมทั้งขนาดซึ่งมีต่าง ๆ กันและมีการเรืองแสงที่พบเฉพาะขอบของเซลล์ของ *Cryptococci* ก็พอแยกจากลักษณะของเม็ด

เลือดแดงได้ เชื้อราที่มีรูปร่างและขนาดเล็ก เช่น Yeast cells ของ Candida จะต้องแยกจากการเรืองแสงของแบคทีเรียบางชนิด เช่น Pseudomonas ในกลุ่ม Fluorescent ได้แก่ Pseudomonas aeruginosa, Pseudomonas fluorescens และ Pseudomonas putida แต่แบคทีเรียกลุ่มนี้จะเปล่งแสงเรืองเมื่อผ่านแสงอุลตราไวโอเลตที่ช่วงคลื่นสั้น ๆ (254 nm) เท่านั้น<sup>(4)</sup> โดยทั่วไปแล้วการเรืองแสงของเชื้อราชนิดที่มีอโตพลูออเรสเซนส์ จะให้แสงเรืองออกจากบริเวณขอบของเซลล์เชื้อรา การสูญเสียคุณสมบัติข้อนี้จะเกิดขึ้นเมื่อ section เก็บไว้นาน และมีการเสื่อมสลายของเซลล์เชื้อรา และเมื่อชิ้นเนื้อ fix ไม่ได้พอเหมาะสำหรับ Histoplasma จะเรืองแสงเมื่ออยู่ในระยะ active เท่านั้น<sup>(2)</sup>

## สรุป

ผลการศึกษาย้อนหลัง ในเนื้อเยื่ออักเสบจากเชื้อรา 22 ราย จำนวน 7 ชนิด โดยใช้

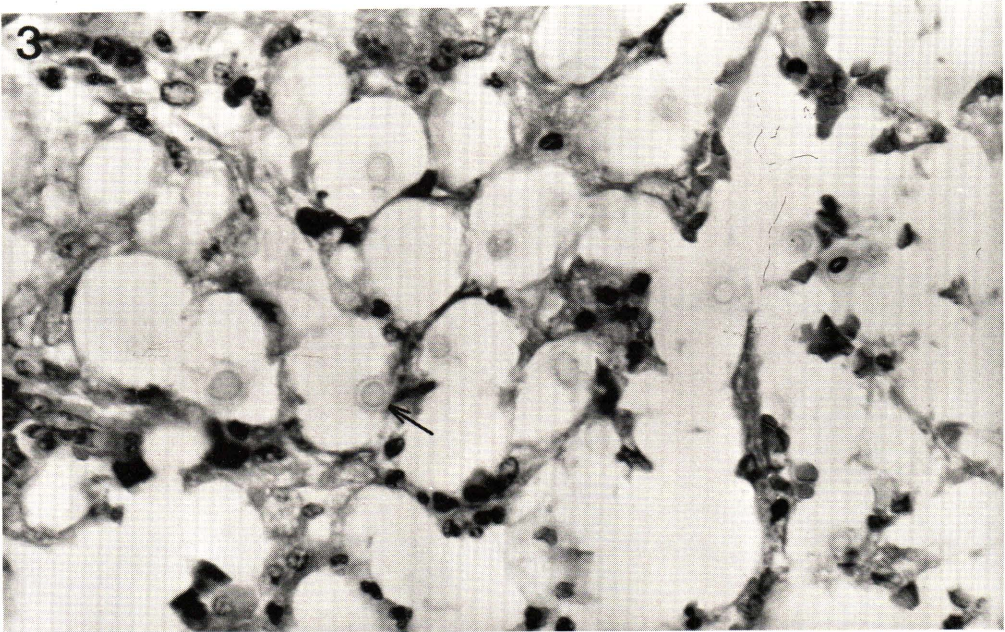
กล้องฟลูออเรสเซนส์ พบว่ามีการเรืองแสงจากเชื้อราชนิด Candida 5 ราย ใน 7 ราย Aspergillus 4 ราย ใน 5 ราย Cryptococcus และ Histoplasma ทุกราย ในการศึกษาไม่พบมีการเรืองแสงจากเชื้อราชนิด Phycomycosis, Chromoblastomycosis และ mycetoma เนื้อเยื่อที่มีการเรืองแสงและให้ลักษณะคล้ายคลึงกับการเรืองแสงของเชื้อราบางชนิด ได้แก่ เนื้อเยื่อ connective tissue และเม็ดเลือดแดง เชื้อราที่มีอโตพลูออเรสเซนส์ จะเปล่งแสงเห็นได้ชัดเมื่อ section ที่นำมาศึกษาจะต้องใหม่พอ และไม่มีการเสื่อมสลายของเชื้อรา การศึกษานี้มีประโยชน์ในการสนับสนุนการวินิจฉัยเชื้อราได้อย่างรวดเร็วโดยไม่ต้องเสียเวลารอกการย้อมพิเศษดังที่กล่าวมาแล้ว และเป็นประโยชน์ในการแยก Aspergillus ออกจาก Mucor ในกรณีที่เกิดลักษณะจากการศึกษาด้วยกล้องจุลทรรศน์คล้ายคลึงกัน แต่วิธีการจะต้องมีอุปกรณ์ที่สำคัญคือกล้องฟลูออเรสเซนส์ ซึ่งมีราคาแพงมาก



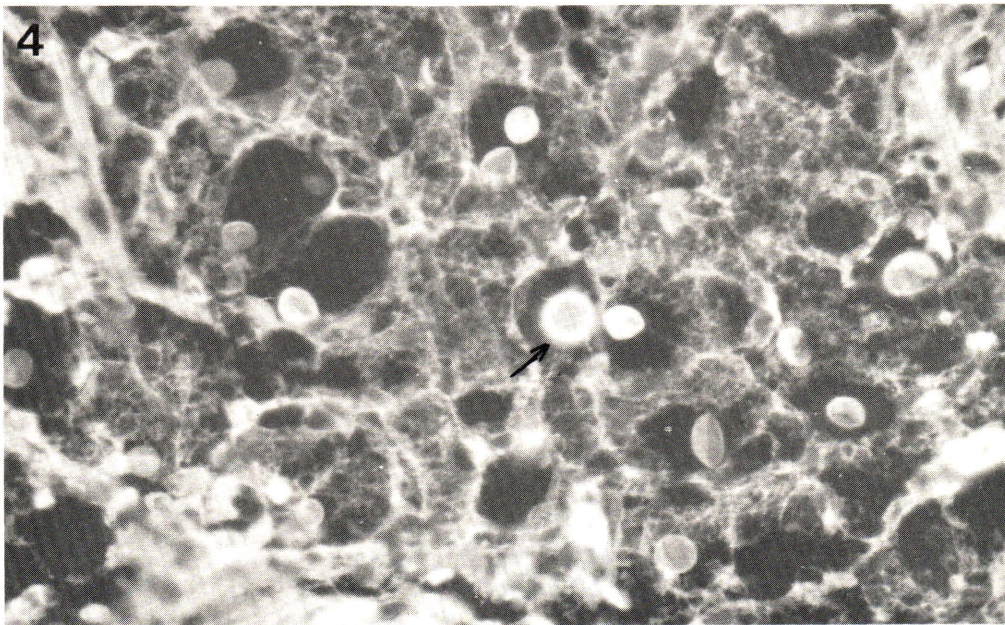
รูปที่ 1 แสดงลักษณะของ Candida ประกอบด้วย Yeast (ลูกสรสน้) และ Hyphae (ลูกสรยาว)  
H&E × 400



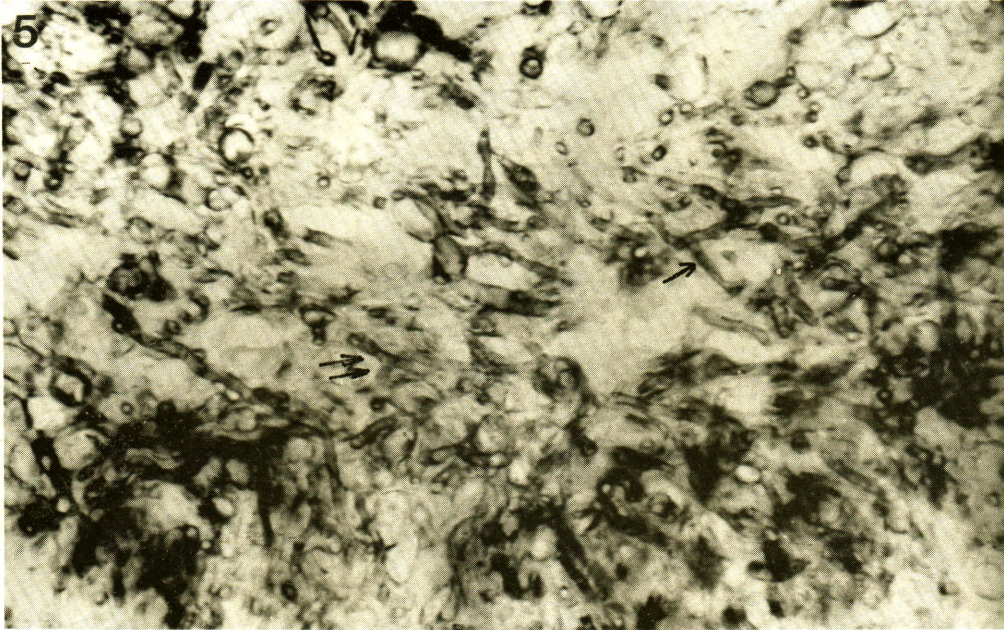
รูปที่ 2 แสดงลักษณะของ Candida ที่ศึกษาด้วยกล้องฟลูออเรสเซนซ์ มีอโตฟลูออเรสเซนซ์ จาก  
Yeast (ลูกสรสน้) และ Pseudomycelia (ลูกสรยาว) × 400



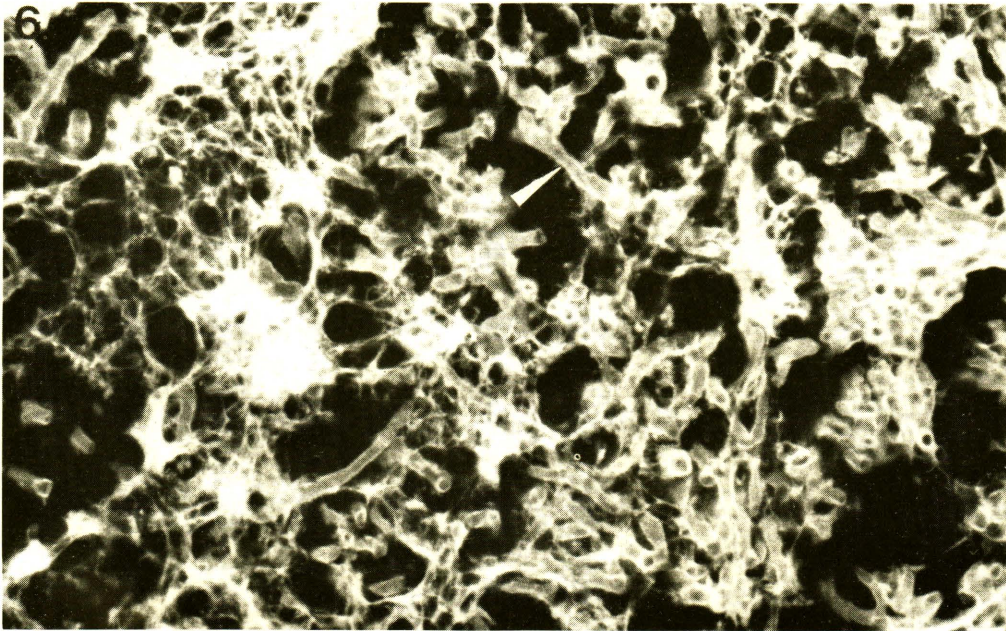
รูปที่ 3 แสดงลักษณะของ Cryptococci ในเนื้อเยื่อปอด (ลูกศร) H&E  $\times 400$



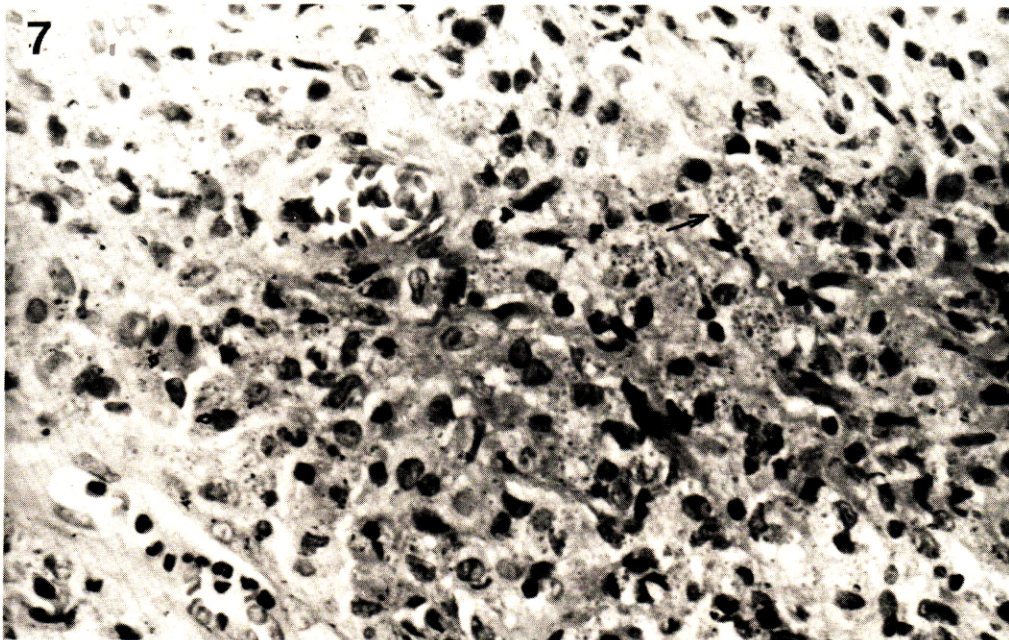
รูปที่ 4 แสดงลักษณะของ Cryptococci เมื่อผ่านแสงอุลตราไวโอเลต เปลี่ยนแสงเรืองออกจากบริเวณผนังของ Organisms (ลูกศร)  $\times 400$



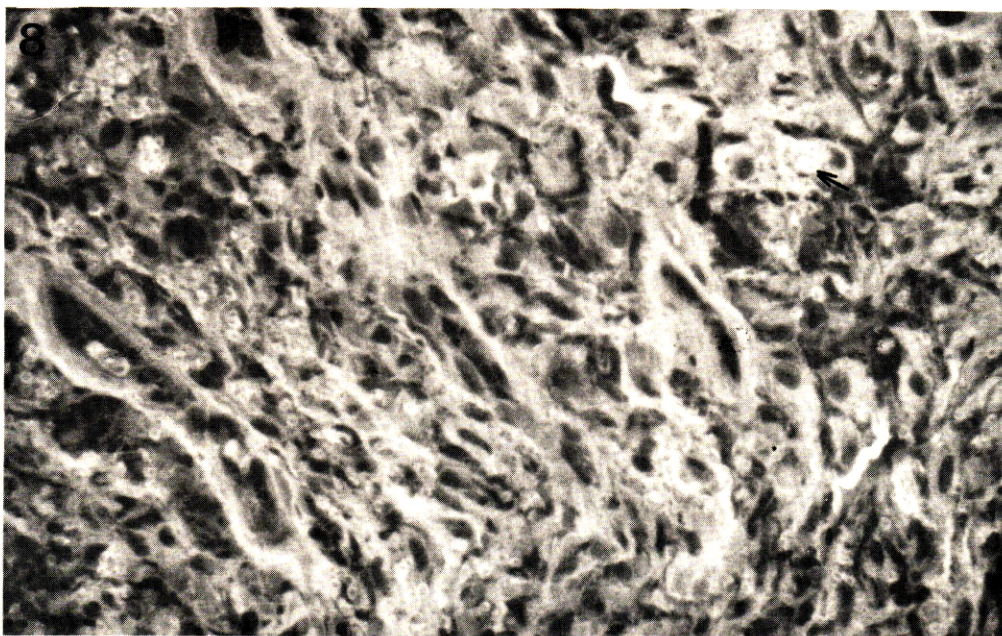
รูปที่ 5 แสดงลักษณะของ *Aspergillus* ประกอบด้วย septum ซึ่งเห็นไม่ชัดเจน และ branching hyphae ทำมุมกว้าง (ลูกศร)  $\times 400$



รูปที่ 6 แสดงลักษณะของ *Aspergillus* ที่ศึกษาค้นคว้าด้วยกล้องฟลูออเรสเซนซ์ มีออตโฟลูออเรสเซนซ์ บริเวณผนังของ Hyphae (ลูกศร)  $\times 400$



รูปที่ 7 แสดงระยะ Active ของ Histoplasmosis พบมี Organisms จำนวนมากอยู่ในฮิสติโอไซต์ (ลูกศร)  $\times 400$



รูปที่ 8 Histoplasma ในระยะ Active เปล่งแสงเรืองจากผนังของ Organisms เมื่อศึกษาด้วยกล้องฟลูออเรสเซนส์ (ลูกศร)  $\times 400$

## อ้างอิง

1. สมเนตร บุญพรคนาวิก. อิมมูโนฟลูออเรสเซนซ์เทคนิค. กรุงเทพมหานคร : พิชฌเนศ, 2524. 20-28
2. Mann JL. Autofluorescent of fungi : an aid to detection in tissue sections. *Am J Clin Pathol* 1983 May; 79 (5) : 587-590
3. Binford CH. Connor DH. Pathology of Tropical and Extraordinary diseases : an atlas. Vol Two. Washington DC : Armed Forces Institute of Pathology, 1976. 562-569
4. Hige R, Gilardi GL. Pseudomonas fluorescent group. In : Lennette EH, Balows A, Hausler WJ, Truant JP, eds. *Manual of Clinical Microbiology*, 3 ed. Washington D.C. : American Society for Microbiology, 1980. 291-296